

# 海中構造物の設計(波力について)

運輸省港湾技術研究所 合田良実

## まえがき

海中構造物の設計において考慮する外力は、波力、風荷重などであり、このうち波力については1950年頃から主として米国を中心に研究が進められ、波力の算定方式<sup>1)~6)</sup>を一応まとめた状態にある。こゝでは、こうした標準的な算定方式を中心としつつ問題点について触れてみたい。

## 1. 波力計算の基本式

いま速度Uの流れの中に体積Vの物体が置かれていまよとす、この物体に働く流れ方向の流体力は、

$$F = \frac{1}{2} \frac{w_0}{g} C_D U |U| A + \frac{w_0}{g} C_M \frac{dU}{dt} V \quad \dots \dots (1)$$

と表わされる。ただし、A: 流れの方向に対する物体の投影面積,  $w_0$ : 水の単位体積重量, g: 重力の加速度,  $C_D$ : 抗力係数,  $C_M$ : 質量係数である。こゝで1項は、物体表面の摩擦抵抗や物体背後の渦の発生などによる前後の圧力差に起因する力を、抗力と呼ばれる。2項は、流れの速度が変化するときに物体周囲の水粒子が局部的に加速(減速)されるとともに生ずる力を、慣性力と呼ばれる。

波力の場合、速度Uは水粒子の軌道運動速度、 $\frac{dU}{dt}$ は同じく加速度となる。たゞし、水粒子は波の伝播について長円形の軌道を回転しながら運動し、その速さばかりでなく方向も時々刻々に変えるので、この点に注意する必要がある。

流体力の比例係数である $C_D$ ,  $C_M$ は一般に物体の形状(アレイノルズ数その他)によって定まる。波の作用を受けるときの値についてはいろいろの問題があるが、現在では一応、それぞれの計算條件において一定値をとるものとして取り扱われることが多い。

## 2. 直柱に働く波力

### (1) 波力の計算式

海中構造物の中で直柱は、波高観測柱や海底石油の採油管のストーク $10^{\circ}\sim 15^{\circ}$ のように単独でも用いられ、また海上プラットホームの支柱などのように大構造物の構成部材として用いられるなど、その用途が広い。

直柱の場合、流れの速度としては水粒子の軌道運動の水平成分 $u$ ,  $v$ のみをとれば良い。したがって、直柱の高さ $dz$ の部分に働く波力を $dF$ とする、直柱Dの円柱の場合には

$$dF = \frac{1}{2} \frac{w_0}{g} C_D u |u| D \cdot dz + \frac{w_0}{g} C_M \frac{du}{dt} \frac{\pi}{4} D^2 dz \quad \dots \dots \dots (2)$$

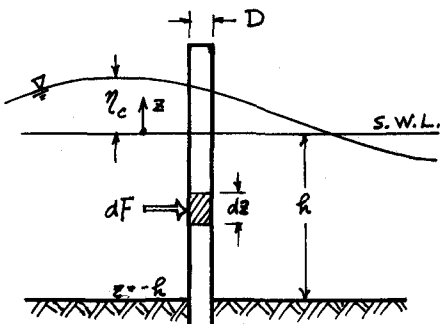


図-1 直柱のスケッチ

\* 潮流などのように一様な流れがあれば、この流れと波による粒子速度とベクトル和を考える。

と表わされる。直柱全体に働く波力は、これを  $z = -h$  から水面  $z = 0$  まで積分して求められ、直柱の断面が途中で変つてあるなどときは、それぞれの断面について積分すれば良い。

実際の計算においては、水面の高さ  $\eta$  (特に波の峰の高さ  $\eta_c$ )、速度  $u$ 、および加速度  $\frac{du}{dt}$  の値を正確に知らなければならぬ。まず次に近似として微小振幅波の理論を用ひよどり、

$$\eta = \frac{H}{2} \sin(kx - \sigma t) \quad \dots \dots \dots (3)$$

$$u = \frac{\pi H}{T} \frac{\cosh k(h+z)}{\sinh kh} \sin(kx - \sigma t) \quad \dots \dots \dots (4)$$

$$\frac{du}{dt} = -\frac{2\pi^2 H}{T^2} \frac{\cosh k(h+z)}{\sinh kh} \cos(kx - \sigma t) \quad \dots \dots \dots (5)$$

と表わされる。 $H$ : 波高,  $T$ : 周期,  $k = 2\pi/L_A$ ,  $\sigma = 2\pi/T$ ,  $L_A$ : 微小振幅波との波長,  $h$ : 水深,  $z$ : 水面から上方正にとった鉛直座標である。この式(3)~(5)は波高が小さい間は誤差を目立たないが、設計の対象となるような波高の大きさを波では、特に速度  $u$  に関する誤差が非常に大きくなる。このため、波高の大きさを波にも適用できるよう有限振幅波の諸理論の研究が進められ、また実験値と理論値の集成による経験式の作成<sup>(6)</sup>が行われたりしてある。

## (2) 全波力の算定図表

設計を算においては、直柱の全断面に働く波力およびそのモーメントをまず知りたいことが多い。このため Reid と Bretschneider<sup>(7)</sup> は1953年にこの算定図表を作成し、これが米国における標準的な図表として用いられてゐる。ただし、これは微小振幅波、深海における碎波、および孤立波の諸理論のみに基づいて極めて大胆な内挿を行なったものなので、筆者は先に実験値その他に基づいた図表を図-2, 3 のように作成して。

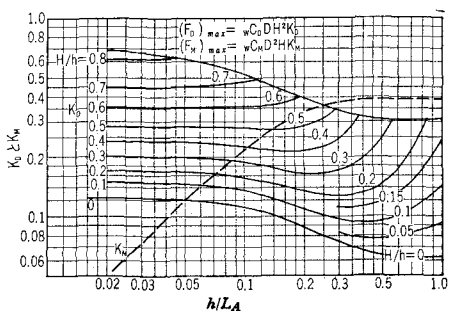


図-2  $K_D, K_M$  の算定図表

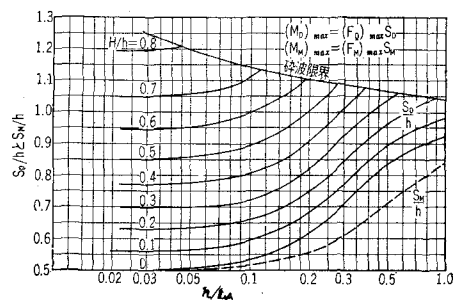


図-3  $S_D, S_M$  の算定図表

図-2 は、抗力および慣性力の最大値を次のように表わし、その算定係数  $K_D$  を実線で、 $K_M$  を破線で示したものである。

$$(F_D)_{max} = w_0 C_D D H^2 K_D \quad \dots \dots \dots (6)$$

$$(F_M)_{max} = w_0 C_M D^2 H K_M \quad \dots \dots \dots (7)$$

また図-3 は、これらの最大抗力および慣性力の作用点の高さ  $S_D, S_M$  を示すもので、海底面より

のモーメントは、次式で求められる。

$$(M_D)_{\max} = (F_D)_{\max} \cdot S_D \quad \dots \dots \quad (8)$$

$$(M_M)_{\max} = (F_M)_{\max} \cdot S_M \quad \dots \dots \quad (9)$$

図-2, 3を用いて算定した結果は、米国で用いられてる同表による値とあまり違わない。

全波力の最大値は、抗力と慣性力の位相が90°異なるため、次のように表わされる。

$$(F_T)_{\max} = (F_D)_{\max} + \frac{(F_M)_{\max}^2}{4(F_D)_{\max}} \quad \dots \text{たゞし}, \quad 2(F_D)_{\max} \geq (F_M)_{\max} \quad \left. \right\} \dots (10)$$

$$(F_T)_{\max} = (F_M)_{\max} \quad \dots \dots \text{たゞし}, \quad 2(F_D)_{\max} < (F_M)_{\max}$$

波力によるモーメントも同様の式で求めれば良い。

### (3) 抗力係数 $C_D$ の値

定常流における抗力係数の値は、形状とレイノルズ数の実数として実験的に求められているけれども、波浪中の値に関しては測定値のばらつきが非常に大きくて、設計に用いるべき値についての定説はないと言えよう。可動式の振幅装置に関する米国船級協会の規定<sup>1)</sup>では、0.5以上の値を用いることのみしており、米国工兵隊の要覧<sup>2)</sup>は、微小振幅波理論によつて粒子速度を計算する場合の値として1.1~1.8を提示し、全波力の算定期表を使うときは0.53の値を指示している。しかし、この最後の値は過小のようと思われる。すなはち、定常流における円柱の抗力係数は  $R_e = (2\sim 4) \times 10^5$  附近で一度急減して0.3程度になると、 $R_e$ の増加とともに次第に増加して  $R_e = 4 \times 10^6$  以上では  $C_D = 0.7$  の一定値に落ち着くことが知られており<sup>3)</sup>、またこうしてレイノルズ数の大きい折では表面粗度の増大につれて  $C_D$  が約0.4から1.0まで増大するとの実験データ<sup>4)</sup>もある。一方、波浪中の円柱の抗力係数は、規則波を用いた実験では粒子速度が正確に求められていれば、定常流における値にはべ一致する。<sup>5)</sup> 実際の設計ではレイノルズ数が  $10^6 \sim 10^7$  となり、また鋼管の腐食や海中生物の付着による粗度の増大も予想される。したがって、全波力の算定期表と併用すべき抗力係数の値としては、 $C_D = 0.7 \sim 1.0$  が妥当と考えられる。

なお、円形以外の断面形状については、文献10)などを参照されたい。

### (4) 質量係数 $C_M$ の値

円柱の場合は、ボテンシャル理論では2.0であり、波浪中ににおける測定値も実験によってばらつきが相当みるけれども、平均的には1.6~2.0なので、理論値の  $C_M = 2.0$  が一般に用いられる。この場合、加速度の計算式としては微小振幅波理論による式(5)が多く用いられる。

なお円柱の直徑が波長の数分の一以上にすると、円柱の前後の位相差のため質量係数の値が減少する。円柱による回折波の理論で求められた波力<sup>11)</sup>を質量係数の値に換算すると、

$$C_M = \frac{16 L^2}{\pi^2 D^2 \sqrt{J_1'(\pi D/L)^2 + Y_1'(\pi D/L)^2}} \quad \dots \dots \quad (11)$$

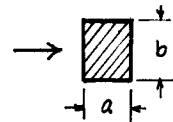
となる。ここで、  $J_1'$ ,  $Y_1'$  は第1種および第2種のベッセル関数である。たゞし、これは微小振幅波の理論によるものなので、波による水面上昇の分を計算すると、波高の大きな場合にはこの理

論による波力よりも數十%大きくなるという計算<sup>12)</sup>も報告されていふ。

また、幅  $a$ 、高さ  $b$  の長方形断面の柱体については、単位長あたりの体積を  $a \times b = 1$  とした時の質量係数が、ボテンシャル理論によって次表のように求められていく<sup>13)</sup>。

表-1 長方形柱の質量係数

| $b/a$ | 0.1  | 0.2  | 0.5  | 1    | 2    | 5   | 10  |
|-------|------|------|------|------|------|-----|-----|
| $C_M$ | 1.18 | 1.31 | 1.67 | 2.18 | 3.14 | 5.8 | 9.8 |



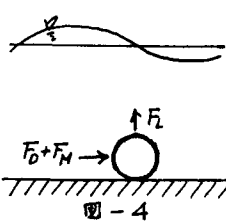
### (5) 破砕による衝撃力

海底こう配が急なときは、以上の抗力と慣性力に加えて、碎波の衝突による衝撃力を考慮する必要も生ずる。この衝撃力は、碎波によって水面が直立した水の壁となって構造物にぶつかり、その前進運動量が柱にて短時間に失われるため発生する力であり、その最大値は円柱についてでは次のようく表わされる。<sup>14)</sup>

$$(F_x)_{\max} = w_0 D H_B^2 K_B \lambda , \quad K_B = \frac{\pi C_D^2 \gamma_c}{2 g H_B^2} \quad \dots \dots \quad (12)$$

ここで、 $H_B$ : 碎波高、 $C_D$ : 碎波時の波速、である。また  $\lambda$  は、直立部と見下された部分の高さと波高との比で、海底こう配  $1/10$  のとき  $0.3 \sim 0.5$ 、海底こう配  $1/100$  で  $0.05 \sim 0.1$  程度の値となる。この衝撃力の作用時間は  $C_B = D/(2 C_D)$  と極めて短かいので、部材応力の算定などにおいては、部材の振動特性によって定まる衝撃応答係数を基にして波力の有効値を求めるなければならない。部材の固有周期が秒のオーダーの場合には、碎波による衝撃力よりも碎波直前の波による波力の方が危険側となることが多い。

### 3. 海底のパイプおよび構造物に働く波力



石油の輸送管や下水の排水管のようく海底に沿って設置されるパイプでは、式(1)の抗力と慣性力(上および  $\frac{dU}{dt}$  は海底泥の水平粒子速度および加速度)のほかに、次の揚力  $F_L$  も同時に作用する。

$$F_L = \frac{1}{2} \frac{w_0}{g} C_L U^2 A \quad \dots \dots \quad (13)$$

図-4

この場合の  $C_D$ 、 $C_L$ 、 $C_M$  の値として Beckman と Thibodeaux<sup>15)</sup> は主と 1/2 航空関係の資料に基づいて  $C_D = C_L = 0.5$  をとれば宜いとしたが、Wilson と Reid<sup>16)</sup> は波浪中の直柱のデータなどから、 $C_D \geq 1.0$ 、 $C_L \geq 1.0$  とすべきことを主張している。また模型試験において  $C_D \approx 3.7$ 、 $C_L \approx 3.4$  の値が得られた例<sup>17)</sup>もあり、これを採用すべきか問題はあるが、 $C_D = C_L = 1.0$ 、 $C_M = 2.0$  程度を考えれば無難であろう。なお海底面における  $\frac{dU}{dt}$  については、式(4)、(5) の値を用いてもあまり大きな誤差はない。

次に、可動式のプラットホームの基礎のようにかなり大きい構造物の場合には慣性力が卓越し、波高に比例する力が作用する。直径約 11m、高さ約 10~14m の円筒形の構造物について模型試験を行なった例<sup>18)</sup>では、水深 16~20m、周期 7~13sec、波高 2~8m の相当する條件において  $C_M = 1.8 \sim 2.8$  の値が得られ、構造物の高さと水深との比が大きいほど  $C_M$  も大きい傾向にある。ただし、加速度と

しては構造物の中点の高さにおける値を用ひていい。

このような構造物には、水平方向の力ばかりではなく鉛直方向の力も作用する。これは鉛直加速度による慣性力が主なもので、加速度の方向に応じて上向きおよび下向きに働く。上記の模型試験の例では微小振幅波の加速度と構造物の体積を用いたときの係数として、 $C_M = 1.6 \sim 3.9$  程度の値が得られていい。

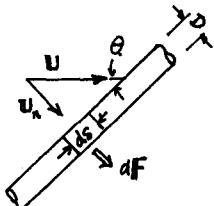
また、平板状のバージを水中に沈めたときに働く波力（水平および鉛直）を測定した例<sup>18)</sup>では、質量係数として表-1の理論値には等しい値が得られていい。

#### 4. トラス構造に働く波力

トラス構造の場合、波力は各部材に対して直角方向に働く。速度および加速度とともに各部材に対する直角方向の成分を用いて式(1)で波力を求め、それらの位相を考えて合成する。鶴田<sup>19)</sup>はこの種の構造物に対する計算例を示し、模型実験による検討を行なっていい。

今、図-6のように部材の軌道と流れの方向かθだけ傾いていい場合を考えると、部材に直角方向の流れの成分は  $U_m = U \sin \theta$  であるから長さ  $ds$  の部分に働く抗力は、

$$dF_o = \frac{1}{2} \frac{w_0}{g} C_D U^2 \sin^2 \theta ds \quad \dots \dots \dots (14)$$



となる。これを流れの方向X、およびこれに直角な方向Yの成分に分けると、

$$(dF_o)_x = (dF_o)_o \sin^2 \theta, \quad \text{ただし, } (dF_o)_o = \frac{1}{2} \frac{w_0}{g} C_D U^2 ds \quad \dots \dots \dots (15)$$

$$(dF_o)_y = (dF_o)_o \sin^2 \theta \cdot \cos \theta,$$

となる。慣性力についても同様の考え方があつめられる。

実際の構造計算では部材の直徑が設計波高の数分の一以下の抗力が卓越する場合が多く、(1)とも波の峰が通過するときの最大水平力が主として問題になる。このような場合はUとして水平粒子速度U<sub>1</sub>が対象になるので、鉛直柱および波向と直角方向のパネル内の水平柱と斜柱は全断面に波力を受け、波向に平行なパネル内の水平柱は波力を作用せず、同じパネル内の斜柱には全断面に対する波力に  $\sin^2 \theta$  を乗じた力が働くことになる。

隣接部材による影響については、直柱に関する実験では、横並び直柱による  $C_D$  の増加は中心間隔が2.5D以上あれば無視できる<sup>17)</sup>、前方の直柱によるしゃへい効果は中心間隔4Dで  $C_D = 10\%$  減少させ、8Dでは無視できる<sup>20)</sup>と報告されている。したがって、実際のトラス構造に関しては隣接部材の影響を無視できるものと思われる。

#### 5. プラットホームに働く波力

図-7のよう海上プラットホームに働く波力は、支柱に働く力と本体に働く力とに分けて考えられる。前者はその構造に応じて直柱またはトラス構造として解析すれば良い。全本としての安定性に

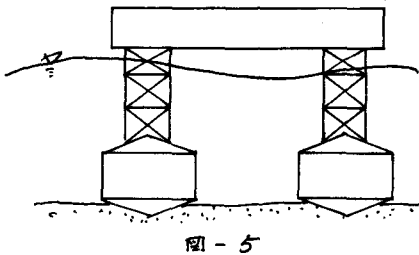


図-5

については、前柱、本体、および後柱のそれぞれに働く波力の位相を考慮する必要がある。本体に働く波力については、 $\pm 1$  次近似としては単純にプラットホームの前面と後面に働く静水圧の差として、

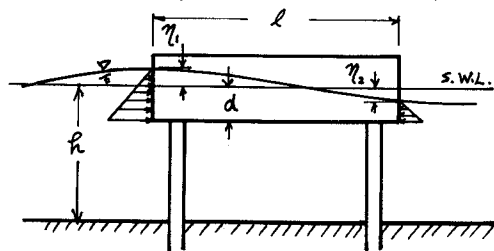


図-7 プラットホームのスケッチ

$$P = \frac{1}{2} w_0 B [(d + \eta_1)^2 - (d + \eta_2)^2]$$

$$\doteq w_0 B d (\eta_1 - \eta_2)$$

$$\therefore P = -w_0 B d H \sin \frac{1}{2} k l \cos [k(x + \frac{l}{2}) - \omega t] \quad \dots \dots \dots (16)$$

と求められる。小岩ほか<sup>21)</sup>が幅45cm、船長100cm、吃水3~7cmの模型台船について実験した結果では、船長と波長との比を変えたときの最大波力は式(16)による最大値の1.0~1.3程度と報告されている。また、この波力を波による水平加速度に比例する慣性力として計算すると、 $d \ll h$ として

$$P = -w_0 B d H C_M \frac{\pi l}{l} \cos [k(x + \frac{l}{2}) - \omega t] \quad \dots \dots \dots (17)$$

表れる。ここで  $C_M$  は  $\pi l/h$  の値によって異なるが、この変化は大口径の円柱に対する式(11)に比例すると考え、比例係数としては表-1の長方形断面と円形断面の質量係数との比を用いれば、慣性力としての波力の推定を行なうことができる。上記の実験データにこの考え方を適用してみた限りでは、ほぼ妥当な結果を得られていい。なお、岩崎<sup>22)</sup>もこの種の問題の解析を行なってい。

プラットホームの下面には、主に揚圧力が作用する。下面が空中に露出しない場合の揚圧力は、 $\pm 1$  次近似としてはプラットホームの下面に相当する位置での水圧が、プラットホームがあるときよりもそのすぐ働くものと假定して、これを積分して推定することができます。また Stoker<sup>23)</sup>は微小振幅波としての理論解を示しており、この理論値と実験値との比較は Wiegel<sup>24)</sup>が紹介している。たゞ、プラ

ットホームの下面が波の谷のときに空中に露出する場合には、波の進行について上昇する水面がプラットホームを叩くため衝撃的揚圧力が作用する。この揚圧力は、横構の床版に働く衝撃揚圧力よりも弱いけれども、局部的ル(2~5)  $w_0 H$  の圧力強度が実験<sup>24), 25)</sup>で測定されてい。もっとも、波の進行とともに衝撃揚圧力の部分が移動する性質の力なので、プラットホーム全体の安定性に影響を及ぼすものとは考えにくい。

このような水平力や揚圧力の作用を避けるためのプラットホームの下面を波の峯よりも高めておく場合の目安としては、同一8が参考になる。これは、波の峯から下の水深  $h_c$  と平均水深  $h$  との比を実験的に求めたもので、海底がほぼ水平の場合に適用される。

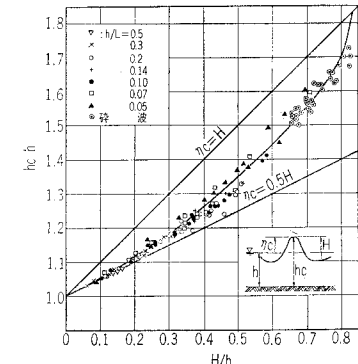


図-8 波峰高の算定図表

## 6. 設計波の選定について

設計波の選定は、対象地点の波浪特性、構造物の使用条件、耐用年数などを考慮して行なわれる。

一つの考え方とは、構造物が最大波力の波によって破壊されることはなへように、対象とする地点における最高波高、すなへち碎波限界の波を用いるものである。

碎波限界における波の波高は、水深、周期、海面こう配などによつて規定され、理論計算の結果や各種の実験値を参考すると、平均的(図-9)のように表わされる。また、深海波では

$$H_{max} = 0.17 L_0 \approx 0.25 T^2 \quad (\text{m-sec 単位}) \quad \cdots \cdots \quad (18)$$

の関係が理論的に導かれる。たとえば、周期 10 sec の波では  $H_{max} \approx 25 \text{ m}$  までの波が存在可能である。たゞとも、このような大きな波高の波が発生し得るかどうかは別途考慮する必要がある。しかし、米国船級協会の規定<sup>24)</sup>では、波高は絶波者の指定によるものとするが、水深 150 m 以上の深海部では通常 18 m 以下に留めることとされており、海岸近くの波よりも遠かに大きな波高を対象としている。

一方、波の周期については、上記の波高を生ずるような気象原因について波浪推算を行ない、そのときの有義波周期  $T_{1/3}$  を用いることが多い。

たゞとも波の周期が長くなると限界波高も増大し、波力も大きくなるので、周期をやや長目に選ぶこともある。

なお、後述のように構造物の振動特性によつては、波高が小さくとも共振を起す可能性のある周期の波を設計波として考えなければならないことがある。

## 7. 不規則波による波力の取り扱い

前節までの取り扱いは、規則的波の理論および実験に基づくもので、実際の海上に見られる不規則波に対しては、日々の波の波高、周期に対する規則波の解析方法が適用されている。現地における波力の観測から求めた抗力係数や質量係数の値が大きめばかりを見せる一つの原因是、こうした簡便法によると考えられていい。

不規則波による波力の解析としては、表面波のエネルギースペクトルを用いて構造物に働く波力の周波数スペクトルを求めること<sup>25), 27)</sup> が行なわれており、波力のスペクトルを観測で求めた結果とよく一致する例も報告されている。

こうした波力のスペクトルを構造設計などのように取り入れて行くことは、今後の研究課題と思われる。Nash & Harleman<sup>28)</sup> は、波力によるプラットホームの振動にスペクトル理論を応用して変位の root-mean-square 値を求める、この値を最小とするような支持面形状をみることを示している。また、波力のスペクトルが求められれば、これから波力の極大値の分布を導くことも考えられよう。なお、波力のスペクトルを直接使わずして、水粒子の速度と加速度のひん度分布から波力のひん度分布その他を求める<sup>29), 30)</sup> なども試みられていい。

以上で問題にしているのは主に 1 次元の周波数スペクトルのみか、係留中の大型船舶が波でドリ

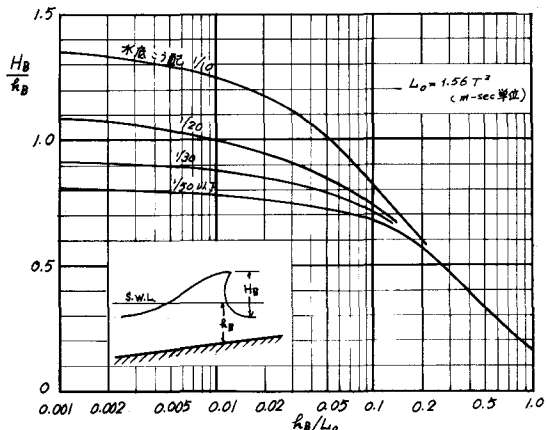


図-9 碎波限界の波高比  $H_s/L_s$  の算定図表

フインに押しつけられるときの推力などのようく切れ波の影響が問題になりますが、2次元の方向スペクトルの取り扱いが必要になるものと思われます。

## 8. その他の問題

### (1) 波による構造物の振動と共振

海中構造物は波の作用によって波向の方向に変位して波とともに動揺することと、カルマン渦の発生その他の原因による波と直角方向の振動も行なう<sup>31)</sup>。このうち波向方向の振動は起振力が慣性であるから、構造物を適当な振動系で近似すれば解析することができます。構造物の共振周波数の振動成分が増幅されることが容易に示されます。<sup>32)</sup>しかし波と直角方向の振動については、波による流れが往復流であるためあって、あまり十分な解析を行なわれてはいません。波による現象の実験例<sup>33)</sup>では、波と直角方向の変位は波向方向の変位の約1/10程度といっています。

構造物の振動が破壊に結びつく可能性のあるのは、水深が非常に大きな場所のプラットホームのように固有周期が数秒のオーダーとなる場合や、水深10~20mで施工中の連込み鋼管などのようにたわみの大きな部材の場合である。波のスペクトルから変位のスペクトルを計算し、共振現象による破壊される危険性について検討することは必要になります。

### (2) 部材の許容応力度

波力に対する部材の許容応力度の問題は、波力が不規則に変動する性質のものであるため簡単に定めることはむずかしい。5. 述べた限界波高の波に対して設計する場合であれば、データの変動の問題は別として、その他点で想定される最大の波力が求められるので許容応力度もかなり高く、場合によっては降伏点強度一杯まで取ることなども考えらるよう。しかし、統計的の波力の最大値アスクレートから推定して波力のうえ、設計値を上回る波力の出現の可能性がある場合などは、安全率を大きく取ることも必要になります。なお、米国船級協会の規定<sup>4)</sup>では、波力による応力度の許容値として、引張に対するは降伏点強度の1/1.25、圧縮に対するは降伏点または座屈強度の1/1.32とされています。常時荷重の約33%増の値をとっています。

## あとがき

以上のように、現在のところ海中構造物に働く波力の性質はまだ把握されており、波力の概略値を推定することが可能である。しかし、 $C_d$ 、 $C_H$ などの係数のばらつきに見られるように、波力の正確な値を算定することはむずかしく、ある程度の誤差を見込んでおがなければなりません。また、設計波高の選定、波力の計算値の取り扱い、波の不規則性に対する考慮、許容応力度の設定など明快な基準のないものが多く、設計者の判断にまことになければならない事項が数多く残されている。さらに、実際の構造物では基礎の周辺洗掘も重要な問題である。こへでは十分な準備ができないと、各種の問題を紹介する程度に終つてしまつけれども、海岸開発を考える上で一つの手掛りになれば誠に幸いである。

## 参考文献

1. Reid, R.O., and C.L. Bretschneider: Surface waves and offshore structure, Texas A. & M. Tech. Rept., 1953, 36pp.
2. Quinn, A. DeF.: Design and Construction of Ports and Marine Structures, McGraw-Hill, 1961, pp.56-70.
3. U. S. Army Coastal Engineering Research Center: Shore protection planning and design, Tech. Rept. No. 4, 1966.

pp.278-296.

4. American Bureau of Shipping: Rules for Building and Classing Offshore Mobile Drilling Units, 1968, 65pp.
5. Goda, Y.: Wave forces on a vertical circular cylinder: experiments and a proposed method of wave force computation, Rept. Port and Harbour Tech. Res. Inst., No. 8, 1964, 74pp.
6. 合田良実: 海中構造物の設計波力について, 土木学会誌第50巻2号, 1965年2月, pp.57-61.
7. Roshko, A.: Experiments on the flow past a circular cylinder at very high Reynolds number, J. Fluid Mech., Vol. 10, Pt. 3, 1961, pp.345-356.
8. Ippen, A.T. (ed.): Estuary and Coastline Hydrodynamics, McGraw-Hill, 1966, p.362.
9. 鶴田千里: 海洋構造物に関する二、三の問題, 運輸技術研究所, 1962年。
10. 土木学会: 海岸保全施設設計便覧(改訂版), 1969年, p.50.
11. MacCamy, R.C., and R.A. Fuchs: Wave forces on piles: a diffraction theory, BEB Tech. Memo. No. 69, 1954, 17pp.
12. Bonnefille, R., et P. Germain: Wave action on isolated vertical cylinders of large dimensions, Proc. I.A.H.R. Congress, London, Vol. 1, 1963, pp.311-318.
13. Handbook of Ocean and Underwater Engineering, McGraw-Hill, 1969, p.12-81.
14. 合田良実・原中祐人・北畠正記: 直柱に働く衝撃波力の研究, 港湾技術研究所報告第5巻6号, 1966年, 30pp.
15. Beckmann, H., and M.H. Thibodeaux: Wave force coefficients for offshore pipelines, Proc. ASCE, Vol. 88, No. WW2, 1962, pp.125-138.
16. Wilson, B.W., and R.O. Reid: Discussion, Proc. ASCE, Vol. 89, No. WW1, 1963, pp.61-65.
17. Johansson, B., and E. Reinius: Wave forces acting on a pipe at the bottom of the sea, Proc. I.A.H.R. Congress, London, Vol. 1, 1963, pp.47-52.
18. Brater, E., J.S. McNown, and L.D. Stair: Wave forces on submerged structures, Proc. ASCE, Vol. 84, NO. HY6, 1958, Paper 1833, 26pp.
19. Morison, J.R., J.W. Johnson, and M.P. O'Brien: Experimental studies of forces on piles, Proc. 4th Conf. Coastal Eng., 1953, pp.340-370.
20. Laird, A.D.K., and R.P. Warren: Groups of vertical cylinders oscillating in water, Proc. ASCE, Vol. 89, No. EM1, 1963, pp.25-35.
21. 小岩恭生・大平勝・平山勇・白鳥保夫: スパッドを有する作業船の船体に作用する波力について(第1報), 調研報告第8巻2号, 1968年, pp.51-69.
22. Stoker, J.J.: Water Waves, Interscience Pub., 1957, p.435.
23. Wiegel, R.L.: Wave forces, Design and Analysis of Offshore Drilling Structures, Univ. of Calif., Berkeley, Continuing Education in Engineering, Sept. 16-21, 1968, pp.1-29.
24. El-Gharmy, O.A.: Wave forces on a dock, Hyd. Eng. Lab. Tech. Rept. HEL 9-1, Univ. of Calif., Berkeley, 1963.
25. French, J.A.: Wave uplift pressures on horizontal platforms, W.M. Keck Laboratory of Hydraulics and Water Resources, Calif. Inst. of Tech., Report No. KH-R-19, 1969, 415pp.
26. Borgman, L.E.: Spectral analysis of ocean wave forces on piling, Proc. ASCE, Vol. 93, No. WW2, 1967, pp.129-156.
27. 日野幹次: パイルに働く波力のスペクトルの理論-波と流れの共存する場合一, 第15回海岸工学講演会講演集, 1968年, pp.103-108.
28. Nath, J.H., and D.R.F. Harleman: Dynamics of fixed towers in deep-water random waves, Proc. ASCE, Vol. 95, No. WW4, 1969, pp.539-556.
29. Pierson, W.J.Jr., and P. Holmes: Irregular wave forces on a pile, Proc. ASCE, Vol. 91, No. WW4, 1965, pp.1-10.
30. Borgman, L.E.: A statistical theory for hydrodynamic forces on objects, Annals of Mathematical Statistics, Vol. 38, No. 1, 1967, pp.37-51.
31. Laird, A.D.K.: Forces on a flexible pile, Santa Barbara Coastal Engineering Conference, ASCE, 1965, pp.249-268.
32. 椎貝博美・河野二夫: 波動による球の振動, 第15回海岸工学講演会講演集, 1968年, pp.97-102.
33. Iwasaki, T.: Resisting torques or forces acting on the spuds of the pump dredger on the surface waves, Proc. 10th Conf. Coastal Eng., Tokyo, 1966, pp.1527-1546.